

# Quadkopter szimulációja LabVIEW környezetben

## Simulation of a Quadcopter with LabVIEW

T. KISS<sup>1</sup>

P. T. SZEMES<sup>2</sup>

<sup>1</sup>University of Debrecen, kiss.tamas93@gmail.com

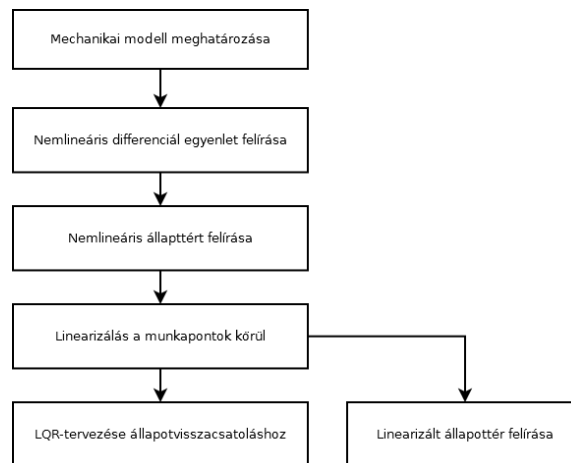
<sup>2</sup>University of Debrecen, szemespeter@eng.unideb.hu

*Absztrakt. A cikk célja, hogy egy olyan LabVIEW alapú valós idejű beágyazott rendszerrel támogatott fejlesztőkörnyezetet hozzunk létre, melyet felhasználtunk egy quadkopter valós idejű kinematikai és dinamikai valós idejű szimulációjára, valamint a hozzátartozó állapot visszacsatoló szabályozóra. Az állapot visszacsatoló szabályozó tervezésért LQR alapú módszerrel terveztük.*

*Abstract. The aim of the paper was to create a LabVIEW-based Real-Time embedded system supported development environment, which was used for the Real-Time kinematics and dynamics simulation of a quad copter as well as the adherent state-feedback controller. The state-feedback controller was designed with Linear Quadratic Regulator (LQR) based method.*

## Bevezetés

A quadrotor helikopter, rövidebb nevén quadkopter négy, egymástól egyenlő távolságban elhelyezkedő, általában egy négyzet sarkaira helyezett rotorral rendelkező repülő eszköz. A vezérlés nehézsége az, hogy hat szabadságfokkal rendelkezik (három rotációs és három translációs), melyeket az egymástól független négy bemenettel tudunk irányítani, ami azt jelenti, hogy a motorok szögsebességét szabályoznunk kell. Jelen fejlesztésben a LabVIEW 2014-ben található "Quadcopter Dynamics and Control" projektből indultunk ki.



1. ábra: A szükséges lépések a szimuláció elkészítéséhez

## 1. A quadkopter alapja

Ahhoz, hogy szimulálni tudjuk a quadkoptert szükségünk van arra, hogy meghatározzuk a pozícióját és sebességét, illetve a koordináta rendszer fő tengelyei körüli forgás szögét (roll ( $\phi$ ), pitch ( $\theta$ ) és yaw( $\psi$ )), és a megfelelő szögsebességeket ( $\omega$ ) is.[1]

### 1.1. Az inercia mátrix

Feltételezhető ezek alapján, hogy a quadkopter szimmetrikus szerkezetű az X és Y-tengelyekre nézve, így az inercia mátrix a következőképp alakul.

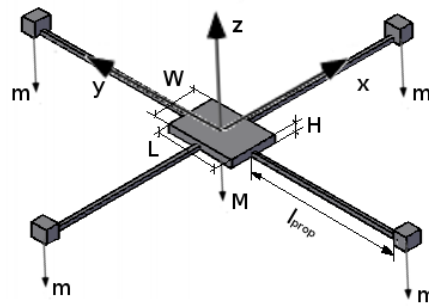
$$I = \begin{bmatrix} I_{xx} & 0 & 0 \\ 0 & I_{yy} & 0 \\ 0 & 0 & I_{zz} \end{bmatrix} \quad (1)$$

Ahol  $I_{xx} = I_{yy}$ .

$$I_{xx} = M \cdot \left( \frac{W^2}{12} + \frac{H^2}{12} \right) + 2 \cdot m \cdot l^2 \quad (2)$$

$$I_{yy} = M \cdot \left( \frac{L^2}{12} + \frac{H^2}{12} \right) + 2 \cdot m \cdot l^2 \quad (3)$$

$$I_{zz} = M \cdot \left( \frac{L^2}{12} + \frac{W^2}{12} \right) + 4 \cdot m \cdot l^2 \quad (4)$$



2. ábra: A mechanikai modell

## 1.2. Gyorsulásvektorok

Ahhoz, hogy a szükséges gyorsulás értékeket megkapjuk több műveletet is el kell végeznünk. Az így létrejövő mátrixunk tartalmazza a gyorsulásvektor x, y és z-irányú komponenseit.

$$\begin{bmatrix} \ddot{x} \\ \ddot{y} \\ \ddot{z} \end{bmatrix} = -g \begin{bmatrix} 0 \\ 0 \\ 1 \end{bmatrix} + \frac{T_1}{m_{TOT}} \begin{bmatrix} \sin(\psi) \sin(\phi) + \cos(\psi) \sin(\theta) \cos(\phi) \\ -\cos(\psi) \sin(\phi) + (\sin(\psi) \sin(\theta) \cos(\phi)) \\ \cos(\theta) \cos(\phi) \end{bmatrix} \quad (5)$$

$$\bar{T} = \begin{bmatrix} T_1 \\ T_2 \\ T_3 \\ T_4 \end{bmatrix} = \begin{bmatrix} gb & gb & gb & gb \\ 0 & -glb & 0 & glb \\ -glb & 0 & glb & 0 \\ -gd & gd & -gd & gd \end{bmatrix} \begin{bmatrix} \omega_1^2 \\ \omega_2^2 \\ \omega_3^2 \\ \omega_4^2 \end{bmatrix} \quad (6)$$

## 1.3. A nemlineáris állapotter modell

$$\begin{bmatrix} \dot{x} \\ \dot{y} \\ \dot{z} \\ \dot{\phi} \\ \dot{\theta} \\ \dot{\psi} \\ \dot{x} \\ \dot{y} \\ \dot{z} \\ \dot{\phi} \\ \dot{\theta} \\ \dot{\psi} \end{bmatrix} = \begin{bmatrix} 000000100000 \\ 000000010000 \\ 000000001000 \\ 000000000100 \\ 000000000010 \\ 000000000001 \\ 000000000000 \\ 000000000000 \\ 000000000000 \\ 000000000000 \\ 000000000000 \\ 000000000000 \end{bmatrix} \begin{bmatrix} x \\ y \\ z \\ \phi \\ \theta \\ \psi \\ x \\ y \\ z \\ \phi \\ \theta \\ \psi \end{bmatrix} + \begin{bmatrix} 0 \\ 0 \\ 0 \\ 0 \\ 0 \\ \frac{\sin(\psi) \sin(\phi) + \cos(\psi) \sin(\theta) \cos(\phi)}{m_{TOT}} \\ -\frac{\cos(\psi) \sin(\phi) + (\sin(\psi) \sin(\theta) \cos(\phi))}{m_{TOT}} \\ \frac{-g + \cos(\theta) \cos(\phi)}{m_{TOT}} \\ 0 \\ 0 \\ 0 \end{bmatrix} \begin{bmatrix} T_1 \\ T_2 \\ T_3 \\ T_4 \end{bmatrix} \quad (7)$$

## 1.4. Linearizálás

A műveletek során az elsőrendű Taylor-sort határoztam meg. Az egyenletekbe behelyettesítve a nemlineáris tagokat ( $\ddot{x}, \ddot{y}, \ddot{z}$ ), linearizáljuk őket egy adott munkapontban ( $\theta = \phi = \psi = 0$ ).

$$\ddot{x} = \frac{\psi \cdot \phi + \theta}{m_{TOT}} \quad (8)$$

$$\ddot{y} = \frac{-\phi + \psi \cdot \theta}{m_{TOT}} \quad (9)$$

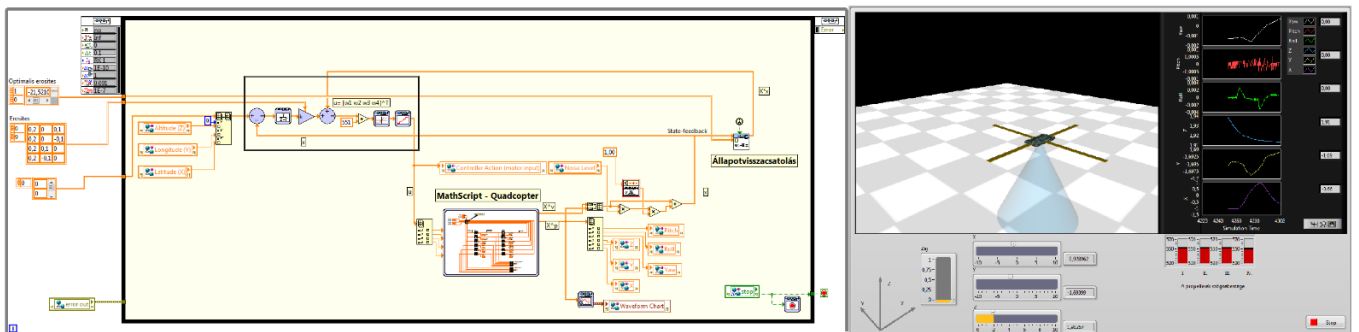
$$\ddot{z} = \frac{-g+1}{m_{TOT}} \quad (10)$$

## 1.5. A lineáris állapotter model

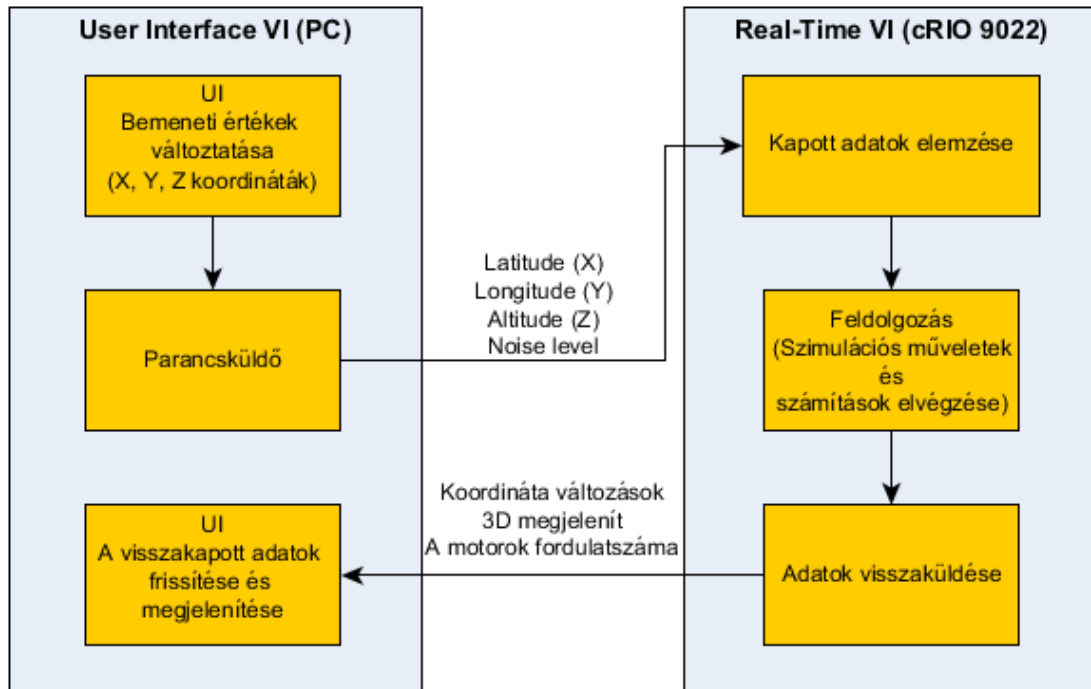
$$\frac{d}{dt} \begin{bmatrix} x \\ y \\ z \\ \phi \\ \theta \\ \psi \\ \dot{x} \\ \dot{y} \\ \dot{z} \\ \dot{\phi} \\ \dot{\theta} \\ \dot{\psi} \end{bmatrix} = \begin{bmatrix} 0 & 0 & 0 & 0 & 0 & 0 & 0 & 0 & 0 & 0 & 0 & 0 \\ 0 & 0 & 0 & 0 & 0 & 0 & 0 & 0 & 0 & 0 & 0 & 0 \\ 0 & 0 & 0 & 0 & 0 & 0 & 0 & 0 & 0 & 0 & 0 & 0 \\ 0 & 0 & 0 & 0 & 0 & 0 & 0 & 0 & 0 & 0 & 0 & 0 \\ 0 & 0 & 0 & 0 & 0 & 0 & 0 & 0 & 0 & 0 & 0 & 0 \\ 0 & 0 & 0 & 0 & 0 & 0 & 0 & 0 & 0 & 0 & 0 & 0 \\ 0 & 0 & 0 & 0 & 0 & 0 & 0 & 0 & 0 & 0 & 0 & 0 \\ 0 & 0 & 0 & 0 & 0 & 0 & 0 & 0 & 0 & 0 & 0 & 0 \\ 0 & 0 & 0 & 0 & 0 & 0 & 0 & 0 & 0 & 0 & 0 & 0 \\ 0 & 0 & 0 & 0 & 0 & 0 & 0 & 0 & 0 & 0 & 0 & 0 \\ 0 & 0 & 0 & 0 & 0 & 0 & 0 & 0 & 0 & 0 & 0 & 0 \\ 0 & 0 & 0 & 0 & 0 & 0 & 0 & 0 & 0 & 0 & 0 & 0 \end{bmatrix} \begin{bmatrix} x \\ y \\ z \\ \phi \\ \theta \\ \psi \\ \dot{x} \\ \dot{y} \\ \dot{z} \\ \dot{\phi} \\ \dot{\theta} \\ \dot{\psi} \end{bmatrix} + \begin{bmatrix} 0 \\ 0 \\ 0 \\ 0 \\ 0 \\ \frac{\psi \cdot \phi + \theta}{m_{TOT}} \\ -\frac{\phi + \psi \cdot \theta}{m_{TOT}} \\ \frac{-g+1}{m_{TOT}} \\ 0 \\ 0 \\ 0 \\ 0 \\ 0 \end{bmatrix} \begin{bmatrix} T_1 \\ T_2 \\ T_3 \\ T_4 \end{bmatrix} \quad (11)$$

## 2. A LabVIEW kód

A program egy CompactRIO (NI cRIO-9022) eszköz segítségével jött létre, melyen csak a szimuláció és számítások mennek, míg vele egy hálózatra kötött számítógép segítségével képesek vagyunk a különböző pozíciók és zavaró jel értékét változtatni.



3. ábra: A cRIO-n futó program blokk diagramja és a PC-n futó VI front panelja



4. ábra: A kommunikáció folyamatábrája

## Összegzés

A kutatás célja, hogy a pilóta nélküli, autonóm, repülő légi járművek pilótáinak képzése céljából egy valós idejű szimulációs rendszert alkossunk meg. A szimulátor létrehozásához a National Instruments cRIO beágyazott rendszerét, valamint LabView fejlesztői környezetet használtuk. A szimuláció felépítése során modelleztük a quadkopterek dinamikus modelljét, valamint szabályozót terveztünk a dinamikus modellhez.

## Hivatkozások

- [1] Gibiansky, „Quadcopter Dynamics, Simulation, and Control,” [Online]. Available: <http://andrew.gibiansky.com/downloads/pdf/Quadcopter%20Dynamics,%20Simulation,%20and%20Control.pdf>. [Hozzáférés dátuma: 14 11 2016].
- [2] Korondi Péter, „<http://www.mogi.bme.hu/>,” 2014. [Online]. Available: <http://www.mogi.bme.hu/TAMOP/robotiranyitasok/index.html>. [Hozzáférés dátuma: 7 11 2016].